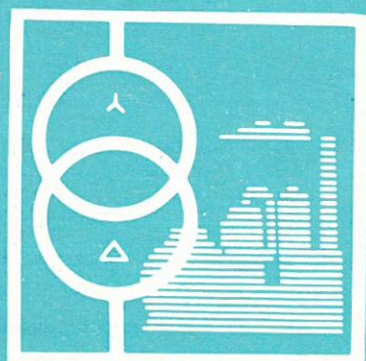


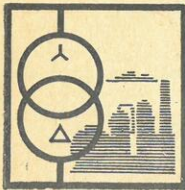
ISSN 0033-1155

ПРОМЫШЛЕННАЯ ЭНЕРГЕТИКА

1983 12



Поздравляем, дорогие товарищи,
с Днем энергетика!



ПРОМЫШЛЕННАЯ ЭНЕРГЕТИКА

Ежемесячный производственно-технический журнал

ОРГАН МИНИСТЕРСТВА ЭНЕРГЕТИКИ И ЭЛЕКТРИФИКАЦИИ СССР
и ЦЕНТРАЛЬНОГО ПРАВЛЕНИЯ НАУЧНО-ТЕХНИЧЕСКОГО ОБЩЕСТВА
ЭНЕРГЕТИКИ И ЭЛЕКТРОТЕХНИЧЕСКОЙ ПРОМЫШЛЕННОСТИ
имени академика Г. М. Крикшановского

Москва, Энергоатомиздат

12 1983
Декабрь

Основан в 1944 году

СОДЕРЖАНИЕ

ЭНЕРГЕТИКА АГРОПРОМЫШЛЕННОГО КОМПЛЕКСА

Жижин В. В., Харас Д. И. — Пути экономии энергоресурсов на предприятиях по производству минеральных удобрений

ЭКОНОМИЯ ЭНЕРГЕТИЧЕСКИХ РЕСУРСОВ

Музиченко И. И. — Опыт работы Новокузнецкого алюминиевого завода по экономии энергоресурсов
Козаренко О. П. — Опыт экономии топливно-энергетических ресурсов на Сухоложском заводе «Вторчермет»
Бондарчук П. И. — Использование древесных отходов в качестве топлива

ЭКСПЛУАТАЦИЯ, МОНТАЖ И НАЛАДКА

Гернер А. Ш., Ластенко В. В. — Тиристорный привод плавателя обжиговой печи
Айдаров Ф. А., Задорожный В. И., Гордиенко Ю. Д. — Совершенствование использования тиристорной магнитной токовой защиты кислородного действия
Ляляев Г. Г., Мартыненко И. И., Чен Ю. А., Хван М. А. — Автоматизированный учет и контроль потребления электроэнергии на предприятиях черной металлургии
Егоричев А. П., Розенблйт Г. И. — Современное оборудование — важнейшее условие темпов и качества перевооружения и совершенствования теплоэнергетического хозяйства предприятий черной металлургии
Важенин Е. В., Кручинина Л. П., Слесарев В. В. — Опыт применения волнистых огнеупорных материалов в тепловых агрегатах цветной металлургии
Экстер А. М. — Об использовании ВЭР в промышленно-отопительных котельных

ПРОЕКТЫ И ИССЛЕДОВАНИЯ

Виноградский В. Н., Гаскевич П. А. — Учет сопротивлений шахтной распределительной сети при расчетах токов короткого замыкания

Цапленко Е. Ф. — Влияние сопротивления трансформаторов	22
контроля изоляции на перенапряжение в сетях 6—35 кВ	23
Долин А. П. — Электродинамическая стойкость сварных швов	23
Рахманова Т. С., Родилейт Л. С., Тренихин В. Б. — Промышленные тепловые испытания мощных тиристорных агрегатов с водяным охлаждением	26
Бакластов А. М., Ефимов А. Л., Быстроев В. П. — Эффективные теплообменники для утилизации теплоты конденсационных выбросов	28
Безродный М. К., Волков С. С., Иванов В. Б., Петров В. Н. — Применение метода термодинамического подобия для обобщения характеристик предельного теплопереноса в двухфазных термосифонах с вставками	28
Черномордик Л. И., Задымкин Н. В., Эренбург В. П. — Полиграфический метод анализа частоты пропускной части осевых компрессоров	33
Данилин Е. А., Каюзов В. Н. — О контроле режима сжигания природных и промышленных газов	35
ПЕРЕДОВИКИ ТРУДА	
10 Труд по приванию	38
11 Трудовая биография энергетика	38
ХРОНИКА	
15 Порядок установления лимитов электрической мощности и контроля за их соблюдением	39
17 Перечень опубликованных межотраслевых методических указаний и рекомендаций по методам расчетов и испытаний на прочность	42
19 Алфавитный указатель статей, помещенных в журнале «Промышленная энергетика» в 1983 г.	43

РЕДАКЦИОННАЯ КОЛЛЕГИЯ

Граков, Г. Л. Багиев, О. Н. Багров, С. И. Веселов (главный редактор),
Юлощенко, П. И. Головкин, В. Л. Громова, И. А. Гукаленко, Е. А. Джапаридзе,
Егоричев, Г. М. Ермолов, Е. Ф. Мельниченко, В. В. Михайлов, Л. А. Новелла
(главного редактора), В. Р. Окороков, Г. Б. Онищенко, М. Н. Павлов, Ю. Л. Рыж-
И. Рябцев, В. И. Савин, Б. В. Сазанов, А. Г. Смирнов, Б. А. Соколов, Ю. А. Ти-
и, Л. Е. Федоров, Е. М. Фесков, И. А. Шадрухин (зам. главного редактора),



Адрес редакции: 103012, Москва, Б. Черкасский пер., 2/10.
Телефон 221-66-04.

сопротивлений трансформаторов контроля изоляции на перенапряжения в сетях 6–35 кВ

ЦАПЕНКО Е. Ф., доктор техн. наук
Московский горный институт

между фазами сети и землей трансформатор для контроля изоляции вносит определение относительно земли. Поскольку это имеет индуктивный характер, а сеть обладает относительно земли, то образуются резонансы, в которых могут возникать резонансные

стрема трансформаторов напряжения (ТН) из трех не связанных между собой Ш-образной формы, на средних стержнях лежат по три обмотки одной фазы, над другой.

На рисунке показан магнитопровод фазы A, где условно расположены рядом. Законы Ома для магнитной цепи магнита: главный магнитный поток Φ

$$R_M = \frac{l_1}{\mu_0 s_1} + \frac{l_2}{2\mu_0 s_2}, \quad (1)$$

— средние линии магнитной индукции и соответствующих участков магнитной отдачи магнитная проницаемость стали

и что индуктивность катушки в общем квадрату числа ее витков, индукции первичной обмотки с числом витков n напряжение для промышленной частоты

$$\omega L = 2\pi f \frac{w^2}{R_M}, \quad (2)$$

практике схема соединения обмоток напряжения показана на рис. 2. Для этой же законов Кирхгофа нетрудно найти вычисления в первичных обмотках ТН в функциях фаз сети относительно земли U_A , U_B , U_C :

$$\left. \begin{aligned} \frac{1}{j\omega L_1} + \frac{1}{k^2 r_0} (\dot{U}_A + \dot{U}_B + \dot{U}_C); \\ \frac{1}{j\omega L_1} + \frac{1}{k^2 r_0} (\dot{U}_A + \dot{U}_B + \dot{U}_C); \\ \frac{1}{j\omega L_1} + \frac{1}{k^2 r_0} (\dot{U}_A + \dot{U}_B + \dot{U}_C), \end{aligned} \right\} \quad (3)$$

$= w_1/w_3$ — коэффициенты трансформации ротации в цепи соединенных соответствующим образом треугольником и звезду вторичных матриц напряжения.

являются основными для исследования безопасности в расчете перенапряжений с трансформаторами напряжения типа

Поскольку токи I_0 и напряжения \dot{U}_0 нулевой последовательности находятся из уравнений

$$I_A + I_B + I_C = 3I_0;$$

$$\dot{U}_A + \dot{U}_B + \dot{U}_C = 3\dot{U}_0,$$

то полная проводимость ТН относительно земли одной фазы

$$\frac{I_0}{\dot{U}_0} = \frac{1}{k^2 r_H} + \frac{3}{k^2 r_0} + \frac{1}{j\omega L_1}. \quad (4)$$

Таким образом, вносимое трансформатором напряжение активное сопротивление

$$r_1 = \left(\frac{1}{k^2 r_H} + \frac{3}{k^2 r_0} \right)^{-1}, \quad (5)$$

а индуктивное

$$\omega L_1 = 2\pi f L_1. \quad (6)$$

На рис. 3 показана схема замещения сети с учетом сопротивлений трансформатора напряжения для контроля изоляции изолированной магнитной проницаемостью стали

Формулы (5) и (6) справедливы и для однофазных трансформаторов напряжения типа НОМ, но в этом случае следует принимать значение $\frac{3}{k^2 r_0}$ равным нулю.

Перенапряжения относительно земли удобно характеризовать напряжением смещения U_N , так как оно

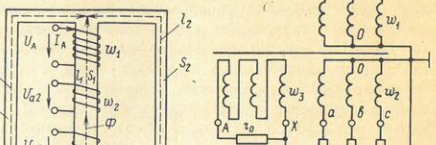


Рис. 1

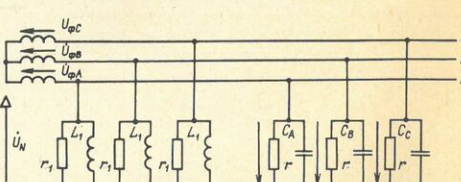


Рис. 2

$= w_1/w_3$ — коэффициенты трансформации ротации в цепи соединенных соответствующим образом треугольником и звезду вторичных матриц напряжения.

являются основными для исследования безопасности в расчете перенапряжений с трансформаторами напряжения типа

определяет значение напряжений фаз относительно земли:

$$\dot{U}_A = \dot{U}_{\phi A} - \dot{U}_N; \quad \dot{U}_B = \dot{U}_{\phi B} - \dot{U}_N; \quad \dot{U}_C = \dot{U}_{\phi C} - \dot{U}_N.$$

Для схемы сети с внесенными трансформаторами напряжения сопротивлениями (см. рис. 3) напряжение смещения нейтрали определяется по формуле

$$\dot{U}_N = U_\Phi \frac{j\omega(C_A + a^2 C_B + a C_C)}{\frac{3}{r_1} + r + i \left(\omega C_A + \omega C_B + \omega C_C - \frac{3}{\omega L_1} \right)},$$

где C_A , C_B , C_C — емкости отдельных фаз сети относительно земли; r — сопротивление изоляции отдельных фаз сети.

Предположим, что $C_A < C_B < C_C$, получим

$$C_B = C_A + C'_B; \quad C_C = C_A + C'_C,$$

где C'_B , C'_C — емкости, учитывающие асимметрию сети.

При этом напряжение смещения нейтрали

$$\dot{U}_N = U_\Phi \frac{j\omega(a^2 C_B + a C'_C)}{\frac{3}{r_1} + r + i \left[\omega(3C_A + C'_B + C'_C) - \frac{3}{\omega L_1} \right]}. \quad (7)$$

Здесь возможны два предельных случая:

- 1) $C'_B = C'_C = C$;
- 2) $C'_B = C$, $C'_C = 0$ или $C'_C = C$, а $C'_B = 0$, где C — емкость асимметрии.

При таком соотношении переменных C'_B и C'_C модуль числителя уравнения (7) имеет наибольшее значение. Поэтому при резонансе, когда

$$3C_A + C'_B + C'_C = \frac{3}{\omega^2 L_1}, \quad (8)$$

напряжение смещения U_N также имеет наибольшее значение и определяется по формуле

$$U_N = U_\Phi \frac{\omega C}{\frac{3}{r_1} + r}. \quad (9)$$

УДК 621.316.016.352.001.24

Электродинамическая стойкость сварных шин

ДОЛИН А. П., канд. техн. наук
Московский энергетический институт

В соответствии с [1] шины считаются электродинамически стойкими, если выполняется условие

$$\sigma_{\text{доп}} \geq \sigma_{\text{max}}, \quad (1)$$

где $\sigma_{\text{доп}}$ и σ_{max} — допустимое и максимальное расчетное напряжение в материале шины; допустимое напряжение принимается равным 0,7 σ_b (временное сопротивление разрыву).

Вместе с тем для обеспечения электродинамической стойкости шин, имеющих сварные соединения, условие (1) является необходимым, но недостаточным. В области сварного шва за счет отжига наблюдается снижение прочности материала шины. Зона отжига достигает 70 мм [2]. В качестве примера в табл. 1 приводятся значения временных

В связи с этим кратность перенапряжений можно найти из соотношения

$$\frac{U_N}{U_\Phi} = \frac{\omega Cr_s}{3(r_s + r)} = \omega Cr_s, \quad (10)$$

где r_s — эквивалентное сопротивление.

Полученная формула позволяет при известных емкости C , создающей асимметрию, и параметрах изоляции сети и трансформатора напряжения определить кратность перенапряжений.

Известно, что индуктивность L_1 одной фазы трансформатора напряжения типа НТМ-6 равна примерно 180 Гн, поэтому

$$C_A + C_B + C_C = \frac{3 \cdot 10^4}{314 \cdot 180} \approx 0,16 \text{ мкФ.}$$

Как видим, резонанс возникает при малых емкостях сети относительно земли, т. е. в тех случаях, когда сеть имеет небольшую протяженность. В этом случае активное сопротивление проводов относительно земли может достигать больших значений, а в пределе — бесконечности.

Пусть, например, емкость несимметрии составляет 30 % суммарной (0,16 мкФ) емкости сети. Тогда при $r=r_s=300$ кОм кратность перенапряжений

$$U_N/U_\Phi = 2\pi f Cr_s = 314 \cdot 0,048 \cdot 3 \cdot 10^{-6} = 4,52,$$

Таким образом, в данном примере с реальными параметрами сети возможно более чем четырехкратное увеличение напряжения смещения нейтрали, а следовательно, напряжений сети относительно земли.

Во избежание резонансных перенапряжений большой кратности, вызванных индуктивностями трансформаторов напряжения, необходимо строго соблюдать требования «Правил устройства электроустановок», в которых рекомендуется в цепь соединенной в разомкнутый треугольник вторичной обмотки трансформатора напряжением 3–35 кВ, работающего по схеме контроля изоляции, включать активное сопротивление 25 Ом, рассчитанное на длительное прохождение тока 4 А.



Таблица 1

Марка сплава	σ_b , МПа	$\sigma_{\text{доп}}$, МПа	$\sigma_{\text{р.сп}}$, МПа	$\sigma_{\text{доп.сп}}$, МПа	$\sigma_{\text{сп}}/\sigma_b$ %
АД3, Т	127	89	120*	84*	94
АД31Т1	195	137	120*	84*	61
АВТ1	304	213	152	108	50
1915Т	353	247	318	220	90

* При ручной сварке (с неплавящимся электродом) $\sigma_{\text{сп}}/\sigma_b = 100 \div 110$ МПа [2], $\sigma_{\text{доп.сп}} = 70 \div 77$ МПа.

Таблица 2

Шинная конструкция	Расчетная схема	Параметр частоты f_1	Параметр $I/\lambda(x)$	Наибольшее значение параметра $I/\lambda(x)$	Координаты сечения шины наибольших напряжений
Многопролетная с неразрезными шинами	Крайний пролет многопролетной балки (с шарнирным опиранием на первый изолатор)*	4,73	$ 0,394 \frac{x}{l} - 0,5 \frac{x^2}{l^2} $	1/9,5	1; 0; 0,79 <i>t</i>
	Второй пролет многопролетной балки*	4,73	$ 0,529 \frac{x}{l} - 0,5 \frac{x^2}{l^2} - 0,106 $	1/9,5	0; 0,27 <i>t</i> ; 0,79 <i>t</i>
С разрезными шинами, длины которых равны длине одного пролета	Средние пролеты многопролетной балки (балка с жестким опиранием на оба изолатора пролета, рис. 1, а)	$\leq 4,73$	$\frac{1}{2} \left \frac{x}{l} - \frac{x^2}{l^2} - \frac{1}{6} \right $	1/12	0; 1; 0,21 <i>t</i> ; 0,79 <i>t</i>
	Балка с шарнирным опиранием на оба изолатора пролета (рис. 1, б)	$\leq 3,14$	$\frac{1}{2} \left \frac{x}{l} - \frac{x^2}{l^2} \right $	1/8	1/2; 0; 1
С разрезными шинами, длины которых равны длине двух пролетов	Балка с жестким опиранием на один и шарнирным на другой изолаторы пролета (рис. 1, в)	$\leq 3,92$	$\frac{5}{8} \frac{x}{l} \frac{c_*}{c_*+3} - \frac{1}{2} \frac{x^2}{l^2} - \frac{1}{8} \frac{c_*-12}{c_*+3}$	$-\frac{1}{8} \frac{c_*-12}{c_*+3}$	0; $\frac{l^*}{4}; l$
	То же для конструкций с жесткими опорами	3,92	$\frac{5}{8} \frac{x}{l} \frac{1}{2} \frac{x^2}{l^2} - \frac{1}{8}$	1/8	0; $\frac{l}{4}; l$

*Для конструкций с жесткими опорами.
Примечание. $c_* = c_{\text{оп}} l^3 / EJ$.

Таблица 3

№ кривой из рис. 3	f_1 , Гц	$c_{\text{оп}} l^3 / EJ$	$M_{\text{оп}} / ml$	Фаза
1	75	100	0	B
2	150	1500	0,5	B
3	250	∞	0,5	B
4	8	1000	0	A
5	2,5	1500	1	A

напряжение (иногда называемое коэффициентом максимального напряжения [3]), равное y_{max} при решении задачи на основе уравнения (3) колебаний системы с одной степенью свободы; $\eta = \frac{2 \sigma_{\text{max}}}{\sqrt{3} k_{\text{уд}}^2}$ — динамический коэффициент при трехфазном к. з.

На рис. 2 представлена кривые динамических коэффициентов параллельных шин, расположенных в одной плоскости, при трехфазном к. з. в зависимости от первой (основной) частоты собственных колебаний шины (на упругих опорах) при различных значениях постоянной времени затухания апериодической составляющей тока к. з. T_a . Кривые на рис. 2 справедливы при любом условии опирания шин на изолаторы пролета.

Значение первой собственной частоты колебаний шины, Гц,

$$f_1 = \frac{r_1^2}{2\pi l^2} \sqrt{\frac{EJ}{m}}, \quad (7)$$

где r_1 — параметр частоты; E — модуль упругости материала; P — и m — момент инерции шины, м^4 , и ее погонная масса, $\text{кг}/\text{м}$.

Параметр частоты r_1 является функцией отношения $c_{\text{оп}} l^3 / EJ$ и $M_{\text{оп}} / ml$ и определяется граничными условиями шины. В табл. 2 указаны наибольшие значения r_1 (при высокой жесткости опор).

Максимальные напряжения в материале шины в обла-

сти сварного шва определяются по формуле

$$\sigma_{\text{max, св}} = |\sigma_{\text{max}}(x)| = |M_{\text{max}}(x)| / W, \quad (8)$$

где x — расстояние от левой опоры (изолатора) до сварного шва; $|\sigma_{\text{max}}(x)|$ — наибольшее по модулю напряжение в сечении шины x ; $|M_{\text{max}}(x)|$ — наибольший абсолютный изгибающий момент в этом сечении.

Расчет напряжений в различных сечениях шины на основе решения уравнения колебаний балки на упругих опорах показал, что распределение наибольших напряжений в пролете при к. з. близко к распределению напряжений при статической нагрузке. В качестве примера на рис. 3 приведены зависимости модулей относительных напряжений от координаты сечений шин для трехфазного к. з. при $T_a = 0,05$ с и различных значениях $c_{\text{оп}} l^3 / EJ$, $M_{\text{оп}} / ml$ и f_1 (табл. 3) для конструкций с жестким закреплением шин на обоих изолаторах пролета. Зависимость $|\sigma_{\text{max}}|$ от координаты шины при статической нагрузке $q_{\text{ст}}$, равной максимальному электродинамическому усилию, практически совпадает с кривой 3 на рис. 3.

Таким образом, наибольшие напряжения в области сварного шва шины

$$\sigma_{\text{max, св}} \approx \frac{M_{\text{max}}}{W} \frac{|M_{\text{ct}}(x)|}{M_{\text{max, ст}}}, \quad (9)$$

где $M_{\text{ct}}(x)$ и $M_{\text{max, ст}}$ — изгибающий момент в сечении x и максимальный по модулю момент в шине при равномерно распределенной статической нагрузке $q_{\text{ст}}$.

После преобразований уравнение (9) приводится к виду формулы (6):

$$\sigma_{\text{max, св}} = \frac{\sqrt{3} \cdot 10^{-7} l^2}{\lambda(x) a W} i^2 y_{\text{ct}} \eta, \quad (10)$$

где $1/\lambda(x) = |M_{\text{ct}}(x)| / q_{\text{ст}}$.

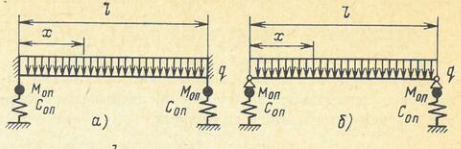


Рис. 1

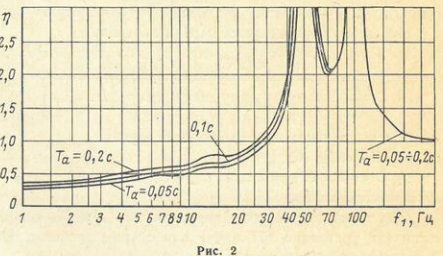


Рис. 2

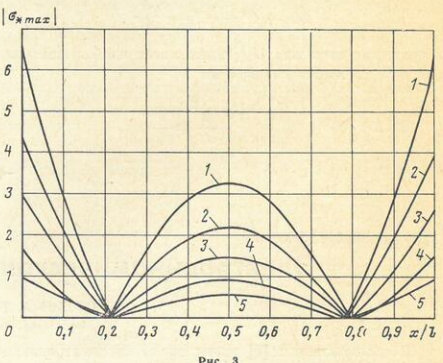


Рис. 3

составляют 50—94 % $\sigma_{\text{в}}$. Таким образом, электродинамической стойкости шин, соединенные, помимо условия (1) должно-равенство

$$s_{\text{доп, св}} \geq s_{\text{max}}, \quad (2)$$

имальное расчетное напряжение в области шины; $s_{\text{доп, св}}$ — допустимое напряжение прочности после сварки, которое known $0,7 \sigma_{\text{в}}$. Для расчета электродинамической стойкости шин рассмотривается как однотипные опоры (изолаторы). Опоры со $M_{\text{оп}}$, сосредоточенную в опорном сечении жесткостью $c_{\text{оп}}$ (в частном случае считается бесконечно большой).

Опоры (закрепления) шин на изолаторах выделяют три основные расчетные схемы: с жестким опиранием на оба изолатора (рис. 1, а), с шарнирным опиранием на один и шарнирным го изолатором (рис. 1, б). Жесткое опирание для средних пролетов конструкции с неизменными целыми или сварными отрезками известна. Такие конструкции наиболее часто предполагают устройстве напряжением арифметическое опирание характерно для разъемных целых или сварных отрезков которых состоят. Смешанное закрепление имеют различными целыми отрезками, равными длине последней два условия опирания шин на изолаторы для конструкций распределения напряжения 110 кВ и выше.

однодинамической стойкости ошиновки сводится к дифференциальному уравнению четвертого порядка [3]. Решение зависит от λ , определяемых способом опирания шин лята. Однако инженерные расчеты электродинамической стойкости изолаторов и шин можно провести на основе решения задачи о колебании степени свободы [3]. В этом случае координаты шинной конструкции при обыкновенном дифференциальном уравнении:

$$m_{\text{оп}} \frac{d^2 y}{dt^2} + c_{\text{оп}} y = Q, \quad (3)$$

приведенная масса, кг, прогиб, м, и жесткость однотомасовой схемы; t — время, с; Q — нагрузка на пролет шины, Н.

не учитывает рассеяния энергии при колебании, допустимо при расчетах в нерезонансных режимах самим обеспечивает дополнительный шинной конструкции. Решение уравнения сматриваемых конструкций (см. рис. 1)

$$y = \frac{2 \cdot 10^{-7} l}{ac_{\text{оп}}} I^2 m y_{\text{ст}}, \quad (4)$$

модулю напряжения в материале шине к. з. определяются по формуле

$$= \frac{2 \cdot 10^{-7} l}{W} I^2 m \sigma_{\text{max}} \quad (5)$$

при различных условиях опищения шин приводятся в табл. 2. Здесь указаны сечения наибольших и наименьших рабочих шин, которые в реальных конструкциях отличаются. Например, расчеты различных сечений шин с жестким опиранием или жесткие опоры (рис. 1,а), зоне решения уравнения колебаний балансной массой, показали, что минимальные сечения с координатами x от 0,21 до 0,81 (см. рис. 3). Кроме того, во всех линиях по абсолютному значению напряжения несколько большими нуля (см. рис. 3) естественных значений (равных нулю), полученных.

Чтобы в конструкциях с неразрезными в двух крайних пролетах (примыкают к опиранием) отличаются от напряжения. Необходимые для расчетов крайние приводятся в табл. 2.

Шины ОРУ напряжением 110 кВ на сию стойкость. Трубчатые круглые шины сплава АВТ1 имеют внешний диаметр $d=80$ мм, погонную массу $m=15 \text{ kg/m}$. Шины сварены длиной 2,6 и 2 м. Длина сваренного пролета $l=10$ м.

Шины собраны из трех изоляторов типа естественной опоры $c_{\text{оп}}=290 \text{ kN/m}$, частота $f_{\text{оп}}=15 \text{ Гц}$. Расстояние между фланцами $\lambda=8$, значение функции $1/\lambda(x)$ при $x=1/l$ составляет 0,08.

По формуле (6) и (10) вычисляем максимальные напряжения в шине и в области сварного шва шины:

$$\sigma_{\text{max}} = \frac{\sqrt{3} \cdot 10^{-7} \cdot 10^2}{8 \cdot 1 \cdot 26 \cdot 9 \cdot 10^{-6}} \cdot 75^2 \cdot 0,3 = 123 \text{ МПа};$$

$$\sigma_{\text{max св}} = \frac{\sqrt{3} \cdot 10^{-7} \cdot 10^2}{1 \cdot 1 \cdot 26 \cdot 9 \cdot 10^{-6}} \cdot 0,08 \cdot 75^2 \cdot 0,3 = 79 \text{ МПа}.$$

Поскольку σ_{max} и $\sigma_{\text{max св}}$ остаются меньше допустимых значений $\sigma_{\text{доп}}=213 \text{ МПа}$ и $\sigma_{\text{доп св}}=106 \text{ МПа}$, шины удовлетворяют условиям электродинамической стойкости (1) и (2).

$$=\frac{\pi(0,094 - 0,084)}{64} = 121 \cdot 10^{-8} \text{ м}^4;$$

$$=\frac{2 \cdot 121 \cdot 10^{-8}}{0,09} = 26,9 \cdot 10^{-6} \text{ м}^2.$$

масса опоры [3]

$$c_{\text{оп}} = \frac{290 \cdot 10^2}{(2\pi f_{\text{оп}})^2} = 32,6 \text{ кг}.$$



СПИСОК ЛИТЕРАТУРЫ

- Правила устройства электроустановок. (ПУЭ-76): Раздел 1. 5-е изд. — М.: Энергоиздат, 1982.
- Семчинов А. М. Токопроводы промышленных предприятий. — Л.: Энергоиздат, Ленинград, отд-ние, 1982.
- Кудрявцев Е. П., Долин А. П. Расчет жесткой ошиновки распределительных устройств. — М.: Энергия, 1981.

621.314.241].001.4

Промышленные тепловые испытания тиристорных агрегатов с водяным охлаждением

РАХМАНОВА Т. С., РОДШТЕЙН Л. С., ТРЕНИХИН В. Б., инженеры
по «Уралэнергоцветмет»

енным объединением «Уралэнергоцветмет» изготавливаются мощные преобразовательные токи в диапазоне от 6300 до 50000 А трансформаторов и других технологических единиц водяного охлаждения силовых полупроводниковых приборов (СПП). Применяемые выпрямители (СУВ), размещенные в конструкции, выполнены с применением силового водоохлаждаемого модуля, включающего в себя групповой охладитель, тиристоры таблеточной конструкции (Г-630), предохранитель (ПП-57) и индуктивный делитель тока. В качестве группового охладителя, являющегося одновременно и токоведущей шиной, использован медный профиль квадратного сечения 60×60 мм с внутренним каналом диаметром 30 мм.

В результате применения одностороннего охлаждения

находим отношения:

$$c_{\text{оп}} l^3 / EJ = \frac{290 \cdot 10^2 \cdot 10^8}{7 \cdot 10^{10} \cdot 121 \cdot 10^{-8}} = 3424;$$

$$M_{\text{оп}} / ml = \frac{32,6}{3,7 \cdot 10} = 0,88.$$

Определяем параметр частоты r_1 по кривым, приведенным, например, в [3], для расчетной схемы конструкции с шарнирным опиранием шины на изоляторы пролета. При данных значениях $c_{\text{оп}} l^3 / EJ$ и $M_{\text{оп}} / ml$ параметр $r_1=3,1$. По формуле (7) вычисляем первую частоту собственных колебаний шины:

$$f_1 = \frac{3,1^2}{2\pi \cdot 10^8} \sqrt{\frac{7 \cdot 10^{10} \cdot 121 \cdot 10^{-8}}{3,7}} = 2,3 \text{ Гц}.$$

По кривым на рис. 2 находим значение динамического коэффициента $\eta=0,3$.

Для конструкций с шарнирным опиранием согласно табл. 2 параметр $\lambda=8$, значение функции $1/\lambda(x)$ при $x=1/l$ составляет 0,08.

По формулам (6) и (10) вычисляем максимальные напряжения в шине и в области сварного шва шины:

$$\sigma_{\text{max}} = \frac{\sqrt{3} \cdot 10^{-7} \cdot 10^2}{8 \cdot 1 \cdot 26 \cdot 9 \cdot 10^{-6}} \cdot 75^2 \cdot 0,3 = 123 \text{ МПа};$$

$$\sigma_{\text{max св}} = \frac{\sqrt{3} \cdot 10^{-7} \cdot 10^2}{1 \cdot 1 \cdot 26 \cdot 9 \cdot 10^{-6}} \cdot 0,08 \cdot 75^2 \cdot 0,3 = 79 \text{ МПа}.$$

Поскольку σ_{max} и $\sigma_{\text{max св}}$ остаются меньше допустимых значений $\sigma_{\text{доп}}=213 \text{ МПа}$ и $\sigma_{\text{доп св}}=106 \text{ МПа}$, шины удовлетворяют условиям электродинамической стойкости (1) и (2).

СПП уменьшилось до минимума число охладителей и водоводов, упростилось изготовление и эксплуатация СУВ. Плотность теплового потока при указанном охлаждении в среднем составляет около 300–400 кВт/м².

Благодаря симметрии внутреннего теплового сопротивления СПП их можно располагать на охладителе любой стороной, что обеспечивает универсальность применяемой конструкции. В нереверсивных СУВ тиристоры расположены с одной стороны охладителя, а в реверсивных — с двух противоположных сторон [1].

Охлаждение СПП осуществляется по двух- или одноконтурной схеме. В случае применения двух контуров дистиллированная вода, циркулирующая во внутреннем контуре, проходит через все последовательно соединенные групповые охладители СУВ и поступает в теплообменник, где охлаждается технической водой второго контура [2]. Одноконтурная система охлаждения с использованием обычной технической воды применяется в установках до 115 В. В системе предусматривается прибор теплового контроля, обеспечивающий отключение агрегата по максимальной температуре воды. Контроль удельного электрического сопротивления воды осуществляется с помощью специального датчика.

При разработке СУВ выполнены тепловые расчеты тиристоров по методу тепловых схем замещения с рядом допущений. Известно, что температурное поле СУВ нестационарно, и, хотя мощность потери других термически активных частей СУВ значительна (около 60% мощности потерь в тиристорах), определение температуры этих элементов аналитическим путем не может быть выполнено с достаточною степенью точности.

С целью изучения тепловых режимов СУВ в эксплуатации, определения оптимального расхода воды, а также возможности увеличения тока тиристора на предприятиях цветной металлургии проведены испытания ряда преобразователей (см. таблицу). Их результаты, методика и специфические особенности могут представить интерес как для разработчиков мощных полупроводниковых агрегатов, так и для эксплуатационного персонала.

Тип преобразователя	Ток нагрузки при испытаниях секции, А	Назначение	Режим работы	Система охлаждения
САПТ-6300/230	6300	Питание электролизера водорода	Нереверсивный	Двухконтурная
САПТ-12500/36	6300	То же цинка	•	Одноконтурная
ПТ-4800/230-19	5000 (эксплуатационный)	То же воды	•	•
САПТ-25000/450	6300	То же никеля	•	Двухконтурная
ПТЦ-25000/450	6300	То же меди	Реверсивный	•

При тепловых испытаниях измеряли температуру корпусов тиристора и охладителей, контактных выводов предохранителей, шин постоянного и переменного тока, металлоконструкций шкафа, расход воды и ее температуру на входе и выходе. Температуру измеряли на самых нагруженных тиристорах (до установки термопар измеряли токи каждого тиристора СУВ), а также тиристорах на входных и выходных охладителях с помощью термопар типа ХК; термо-э. д. с. фиксировалась потенциометром. Оказалось, что с учетом внутреннего теплового сопротивления тиристора расчетная температура $p-n$ структуры составляет не более 105°C (допустимая 125°C).

Рис. 1. Зависимость превышения температуры контактного вывода предохранителя (кривая 1), шины постоянного тока (кривая 2) и корпуса тиристора (кривая 3) от расхода охлаждающей воды

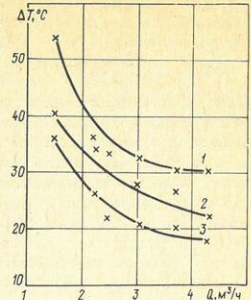


Рис. 2. Зависимость расхода охлаждающей воды от температуры ее на входе при различных средних токах тиристора

При испытаниях СУВ с одноконтурной системой охлаждения была получена зависимость (рис. 1) температуры корпуса тиристора и других элементов СУВ от расхода охлаждающей воды (при низких по сравнению с температурой окружающего воздуха температурах воды). Однако, если в летнее время температура воздуха достигает 40°C, а охлаждающей воды — менее 10°C, возникает опасность появления конденсата, резко снижающего электрическую прочность изоляции СУВ. Для предотвращения этого необходимо контролировать и регулировать поток охлаждающей воды в системе.

Расчетный расход охлаждающей воды, необходимый для предотвращения 22 кВт потерь, выделяемых в тиристорах СУВ-6300, составляет 4 м³/ч при температуре воды на входе 35°C. Испытания показали, что при температуре входящей воды ниже 30°C расход охлаждающей воды может быть снижен до 3 м³/ч.

Было проведено несколько опытов по определению работоспособности СУВ при отключении одного или двух из десяти параллельно работающих тиристоров. При одностороннем охлаждении средний ток тиристора может быть повышен до 300 А при температуре $p-n$ структуры в пределах допустимого значения.

При среднем токе тиристора 250 А с учетом коэффициента формы и неравномерности деления тока между фазами, а также между параллельно работающими тиристорами действующее значение токов некоторых СПП мо-

Индекс
7073

коп.

ЭНЕРГОАТОМИЗДАТ

Промышленная энергетика, № 12, 1983, 1—48

